



IRANIAN SOCIETY of  
CRYSTALLOGRAPHY  
and MINERALOGY

Vol. 12, No. 1, 1383/2004 Spring & Summer

IRANIAN JOURNAL OF  
CRYSTALLOGRAPHY  
and MINERALOGY

## Mineralogy and petrography of calc-silicate xenoliths

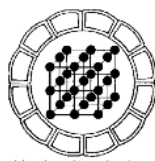
M. Khalili, M.A. Mackizadeh

Department of Geology, University of Isfahan, Iran 81746-7344.  
E-Mail: mahmoud\_khalili@hotmail.com

(received: 24/8/2003, received in revised form: 19/2/2004)

**Abstract:** The calc-silicate xenoliths, within the Shir-Kuh batholith are characterized by melilite, garnet, vesuvianite, and wollastonite mineral assemblage. On the basis of paragenetic relations, prograde and retrograde metamorphism are involved in the formation of these minerals. Melilite, wollastonite and diopside formed during progressive metamorphism which was accompanied by thermal peak shocking and decarbonization reactions in pyroxene-hornfels faces. The effect of fluids in later stage, which released during crystallization of batholith, caused the formation of hydrous minerals (hornblende-hornfels facies during retrograding metamorphism).

**Keywords:** Calc-Silicate, Melilite, Xenolith, Shir- Kuh.



## کانی‌شناسی و سنگ‌شناسی زینولیتهای کالک-سیلیکاته

محمود خلیلی، محمدعلی مکی‌زاده

دانشگاه اصفهان، گروه زمین‌شناسی

پست الکترونیکی: mahmoud\_khalili@hotmail.com

(دریافت مقاله ۱۳۸۲/۶/۱۱، دریافت نسخه نهایی ۱۳۸۲/۶/۲)

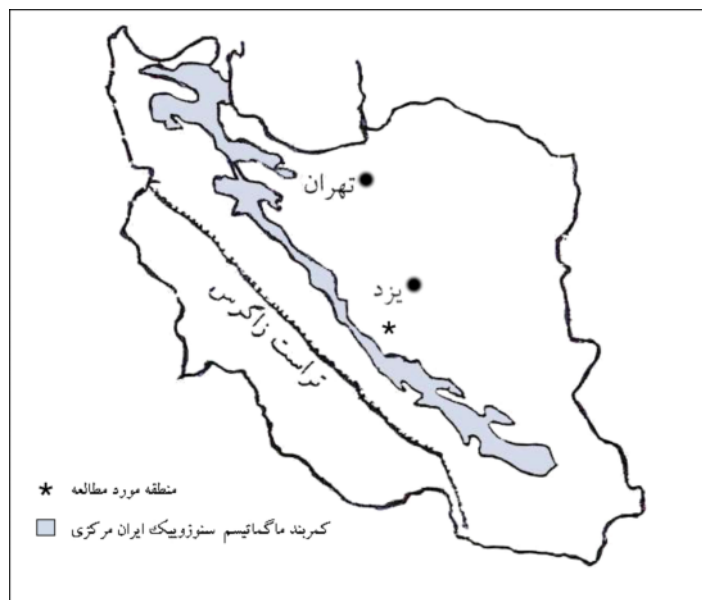
چکیده: زینولیتهای کالک-سیلیکاته در باتولیت شیرکوه با مجموعه کانیهای ملی‌لیت، گارنت، وزوویانیت، ولاستونیت مشخص شده‌اند. بررسی روابط پارازنیکی مجموعه کانیهای فوق دو مرحله اساسی شکل‌گیری این کانی‌ها را مشخص می‌کند: مرحله پیشرونده و مرحله پسرونده. حین مرحله دگرگونی پیشرونده که با اعمال ضربه گرمایی و واکنش‌های کربن‌زاوی در رخساره پیروکسن-هورنفلس همراه بوده است، ملی‌لیت، ولاستونیت و دیوپسید شکل‌گرفته است. شاره‌های آبدار تأخیری آزاد شده از باتولیت در حال تبلور، باعث شکل‌گیری کانی‌های عمدتاً آبدار مرحله پسرونده شده است (رخساره هورنبلند-هورنفلس).

واژه‌های کلیدی: کالک-سیلیکاته، ملی‌لیت، زینولیت، شیرکوه.

**مقدمه**

اهمیت مواد فرار هنگام دگرگونی، به ویژه  $\text{CO}_2$  و  $\text{H}_2\text{O}$ ، مورد مطالعه بسیاری از محققین قرار گرفته است [۱ تا ۳]. این مطالعات ترکیب شاره‌های دگرگونی همچویری و نقش بارز آنها در تشکیل مجموعه‌های کانی‌شناختی را مورد بررسی دقیق قرار داده‌اند. مطالعه برهمنکش شاره - سنگ حین دگرگونی نیز موضوع تحقیق در سرزمین‌های دگرگون، به ویژه در هاله‌های مجاورتی بوده است. در این راستا و به منظور مطالعه شاره‌ها و شارش آنها در مجاورت پلوتون‌ها از کالک-سیلیکاتها به خوبی استفاده شده است [۴]. اثرهای دگرگونی پیشرفتی شامل کرین زدائی و آبرزدائی و دگرگونی پسروندی شامل آبرزدائی موجب شکل‌گیری مجموعه‌های کانی‌شناسی ویژه‌ای در کالک-سیلیکاتهای دگرگونی مجاورتی می‌گردد. کانیهای گروه ملی‌لیت به عنوان کانیهای شاخص رخسارهای سانیدینیت شناخته شده‌اند [۵]. این گروه کانیها در دماهای بالاتر از  $500^\circ\text{C}$  برای آکرمانیت و  $600^\circ\text{C}$  برای گهله‌نیت پایدارند، و در دماهای پائین‌تر و در حضور فشار بخار آب، در گستره  $48$  تا  $67$  کیلوبار به مجموعه کانیهای ولاستونیت، وززوویانیت، گارنت، دیوپسید و کلسیت تبدیل می‌شوند [۵].

هدف از این بررسی، سنگ‌شناسی زینولیت‌های کالک-سیلیکاته در سنگ‌های گرانیتی شیرکوه و مکانیسم تشکیل کانیهای گروه ملی لیت و فراورده‌های دگرسانی آنهاست. گستره مورد مطالعه در فاصله  $40$  کیلومتری جنوب‌غرب یزد و در موقعیت  $35^\circ$  تا  $31^\circ$ ،  $45^\circ$  تا  $54^\circ$  عرض شمالی،  $54^\circ$  تا  $5^\circ$  طول شرقی قرار دارد (شکل ۱).



### شکل ۱ موقعیت منطقه مورد مطالعه در جنوب یزد

#### موقعیت زمین شناسی منطقه

منطقه مورد مطالعه در تقسیمات زمین شناختی ایران در زون ایران مرکزی قرار دارد [۶]. بیشتر این ناحیه را ارتفاعات شیرکوه پوشانده است. این ارتفاعات با روند شمال‌غرب-جنوب‌شرق و با بلندای بیش از ۴۰۰۰ متر شامل واحدهای زیر است:  
**سازندهای نایبند-شمشك (تریاس-ژوراسیک)**: این سازندها بیشتر از ماسه سنگ، کوارتزیت و میان لایه‌های آهکی (سازند نایبند) [۶] و نیز ماسه‌سنگ و شیل سیاه (سازند شمشک) [۷] تشکیل شده‌اند.

**باتولیت شیرکوه**: توده نفوذی شیرکوه از بخش شمالی تا بخش‌های غرب و جنوب‌غرب منطقه مورد مطالعه گسترش دارد. سن احتمالی این توده ژوراسیک میانی [۸ و ۹] است و سنگهای گرانیتی آن بیشتر شامل گرانوپیوریت بیوتیتدار، مونزوگرانیت، آلکالی گرانیت و ترونجمیت است. بر اساس ویژگی‌های کانی‌شناسی و ژئوشیمیایی، طبیعت این گرانیتها از نوع S است [۱۰]. این توده سنگهای تریاس-ژوراسیک را به صورت همجواری دگرگون کرده است.

**سازندهای سنگستان و تفت**: سازند سنگستان به سن نئوکومین [۸] شامل سکانس ضخیمی از نهشته‌های سرخ آواری است. این نهشته‌ها گرانیت شیرکوه را با یک دگرگشیبی زاویه‌دار می‌پوشانند. روی کنگلومرا و ماسه سنگ این سازند، آهک‌های فلات قاره‌ای سازند تفت قرار دارند. این آهک‌ها به رنگ‌های خاکستری، کرمی و به صورت لایه‌های ضخیم سنگی تا نازک دیده شده‌اند.

سنگ‌های دگرگونی همجواری مورد مطالعه در دو حاشیه شمالی و غربی باتولیت شیرکوه گسترش دارند. در حاشیه غربی، توده‌ای عمدتاً مشتمل از آلکالی گرانیت و ترونجمیت رخنمون دارد که ماسه‌سنگ، شیل، کوارتزیت و میان لایه‌های آهکی (سازند شمشک و سازند نایبند) را تحت تأثیر دگرگونی همجواری ضعیفی قرار داده و مجموعه کانی‌های کوارنز، کلریت، کانی‌های کدر و میکائی سفید را به وجود آورده است. در حاشیه شمالی، گرانو دیوریت‌های بیوتیتدار باتولیت گسترش وسیعی دارند. این سنگها روی واحدهای آواری سازندهای نایبند - شمشک اثر دگرگونی همجواری داشته و این واحد را به اسلیت، شیست و هورنفلس‌های کوردیریت‌دار تبدیل کرده است. در بخش‌های غربی و شمال‌غربی منطقه، سازندهای تریاس-ژوراسیک از تأثیر دگرگونی مصون مانده‌اند. بنابراین می‌توان تصور کرد که تنها فاز دگرگونی، در ارتباط با تأثیر گرما ناشی از نفوذ گرانیت شیرکوه بوده و شیستوزیتۀ هورنفلس‌ها آثاری از لایه‌بندی اولیه رسوبی را نشان می‌دهد.

مجموعه‌های کانی‌شناختی این سنگ‌ها را بیوتیت، سریسیت، کوردیریت و موسکویت تشکیل می‌دهند. بر این اساس، سنگهای اصلی منطقه مورد مطالعه در رخساره هورنبلند-

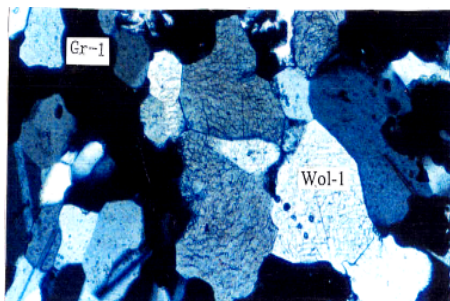
هورنفلس دگرگون شده‌اند [۱۱]. در این ناحیه و در نزدیکی پیوند پیوسته سنگ‌های گرانیتی با واحد ترباس-ژوراسیک، رخداد استثنایی و بسیار اندک از زینولیت‌های کالک-سیلیکاته درون توده گرانیتی یافت می‌شوند. بزرگترین بعد این سنگ‌ها ۴۰ سانتیمتر و رنگ آن‌ها مایل به سبز است.

**سنگ‌شناسی و کانی‌شناسی زینولیت‌های کالک-سیلیکاته زینولیت‌های کالک-سیلیکاته محدود به حاشیه شمالی باтолیت شیرکوه است. مجموعه کانی‌شناختی این سنگ‌های نادر از نظر تحولات دگرگونی بسیار قابل توجه است. بررسی‌های سنگ‌شناسی مجموعه کانی‌های زیر را نشان داده است:**

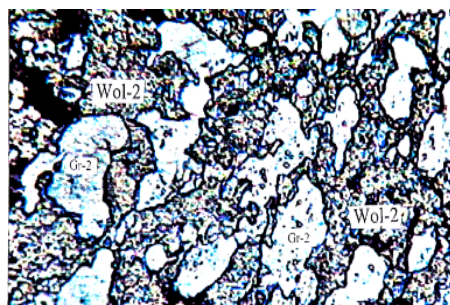
- ۱) ولاستونیت، گارنت، هیدروگروسولار؛
- ۲) ولاستونیت، وزوویانیت، گارنت، ملی‌لیت، هیدروگروسولار؛
- ۳) گارنت، ملی‌لیت، وزوویانیت.

لاستونیت‌ها به دو شکل مختلف قابل مشاهده‌اند:

الف) ولاستونیت‌های منشوری بزرگ تا ماکل چند ترکیبی و بافت گرانوبلاستیک قابل رویت هستند (شکل ۲). این ولاستونیت‌ها در مواردی بافت چند پهلو (با زوایه  $120^{\circ}$ ) را نیز به وضوح نشان می‌دهند (لاستونیت‌های شکل اول). همچنین گارنت‌های همسانگرد که قطعات پراکنده ولاستونیت را فرا گرفته‌اند، بیانگر بافت پورفیروبلاستیک و پوئی کیلو بلاستیک هستند (شکل ۳). ولاستونیت‌های اخیر تا حدودی کشیده و نیز شعاعی دیده شده‌اند.



شکل ۲ بافت گرانوبلاستیک در ولاستونیت‌های شکل اول XPL ( طول میدان دید ۱ mm ).  
Wol-1: ولستونیت. Gr-1: گارنت شکل اول.

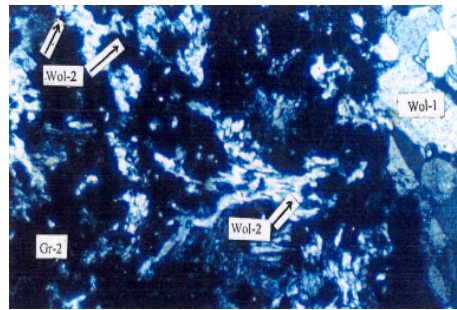


شکل ۳ ولاستونیت با بافت پوئی کیلوبلاستیک، ادخالهای فنوبلاست، گارنت هستند (طول میدان دید ۱ mm). Gr-2: گارنت شکل دوم. Wol-2: ولاستونیت شکل دوم.

ب) ولاستونیت‌های رشته‌ای و ریزدانه که منحصراً همراه با گارنت یافت می‌شوند (شکل‌های ۴ و ۵) و در مجموع یک بافت سیمپلکتیت را نشان می‌دهند. این مجموعه در ظاهر به خرج کانی ملیلیت شکل گرفته است (ولاستونیت شکل ۲).

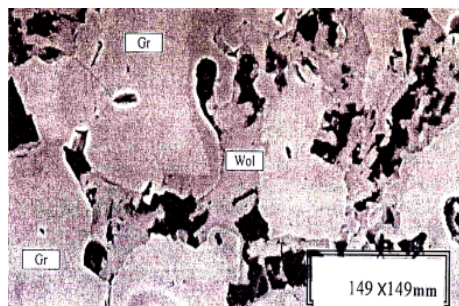
گارنت‌ها کاملاً همسانگردند. این کانی‌ها در دو مرحله شکل گرفته اند:

الف- گارنت‌های بزرگ و بی‌شکل که فضای خالی بین بلورهای کشیده ولاستونیت را اشغال کرده‌اند (گارنت شکل اول) و بافت میان کانیها را نشان می‌دهند. کرانه‌های ناپایدار (گرد شده و کنگره‌دار) ولاستونیت با گارنت به خوبی نشان می‌دهد که گارنت‌ها نسبت به ولاستونیت تاخیری هستند و در حقیقت ولاستونیت‌ها از حاشیه به گارنت تبدیل شده‌اند (شکل ۳). در مواردی بافت آتوالی<sup>۱</sup> از گارنت داخل ولاستونیت نیز کاملاً مشهود است.



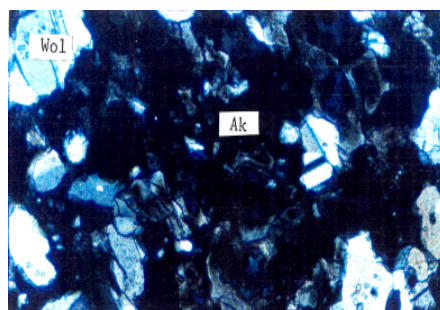
شکل ۴ ولاستونیت‌های رشته‌ای (wol-2) همراه با گارنت شکل دوم (Gr-2). در گوشۀ سمت راست بالای شکل، ولاستونیت‌های شکل اول (wol-1) مشخص است. (طول میدان دید ۱ mm)

1- Atoll texture

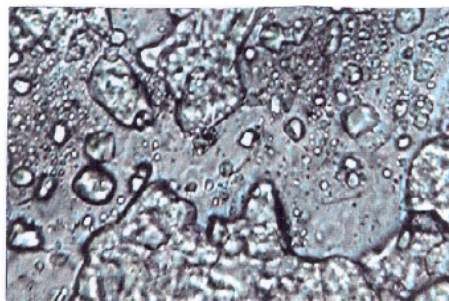


شکل ۵ تصویر BSE از مجموعه گارنت-ولاتونیت سیمپلکتیت گروسولار (Gr) و ولاتونیت (Wol).

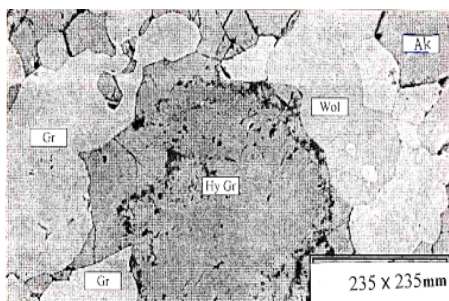
ب- گارنت‌های ریزدانه بی‌شکل که همراه با ولاتونیت‌های سیمپلکتیت شکل دوم بهجای ملیلیت نشسته‌اند (شکل ۴). ملیلیت‌ها نیمه شکل‌دار تا بی‌شکل (شکل ۶)، با رنگ تداخلی غیرعادی و ترکیب متوسط  $\text{Fe-ak1.6 Ge12.683 Na-me9.16 Ak76.162}$  هستند. همچنین آنالیز ریزگمانه وجود مقادیر قابل توجهی سودا-ملی‌لیت (حدود ۱۰ درصد وزنی) و مقدار کمی فرو-آکرمانیت در ترکیب ملی‌لیت را نشان می‌دهد (جدول ۱). ملیلیت‌ها بیشتر دارای بلورهای گردگارنت و کمتر ولاتونیتند (بافت گرانوبلاستیک). این گارنت‌ها در برخی موارد بافت آتلولی نشان می‌دهند (شکل ۷). گرددشگی کرانه‌های گارنت‌ها که به وسیله ملی‌لیت‌ها محاط شده‌اند بیانگر شکل‌گیری این فازها به خرج گارنت است (شکل ۸). محصول دگرسانی ملی‌لیت‌ها، هیدروگروسولار (شکل ۸)، مجموعه سیمپلکتیت گارنت-ولاتونیت، و همچنین وزوویانیت و اجسام رشتهدی قهقهه‌ای سبولیت هستند. کلیه روابط متقابل کانی‌ها (پارازنیکی) در جدول ۲ نشان داده شده است.



شکل ۶ مجموعه ملی‌لیت‌های بی‌شکل بارنگ انترفرانس غیرعادی (Ak) همراه با ولاستونیت (Wol). تبدیل ناتمام ولاستونیت به ملی‌لیت قابل مشاهده است (طول میدان دید ۱ mm).



شکل ۷ گارنت ببابفت آتوالی در زمینه ولاستونیت (طول میدان دید ۱/۲ mm).



شکل ۸ تصویر BSE از دگرسانی ملی‌لیت به هیدروگروسولار. Gr: گروسولار. HyGr: هیدروگروسولار. Wol: ولاستونیت. Ak: اکرمانیت.

جدول ۱ آنالیزهای مایکروپرورب کانی‌های سازنده زینولیت.

درصد اکسید	میلی لیت			پیروکسن			گارنت		
	SiO <sub>2</sub>	TiO <sub>2</sub>	Al <sub>2</sub> O <sub>3</sub>	Fe <sub>2</sub> O <sub>3</sub>	FeO	MnO	MgO	CaO	BaO
SiO <sub>2</sub>	۴۰,۸۸	۴۱,۶۷	۴۱,۱۸	۵۰,۴۳	۵۱,۸۱	۵۰,۵۲	۳۷,۸۰	۳۸,۶۱	۳۴,۸۸
TiO <sub>2</sub>	۰,۰۱	۰,۰۱	۰,۰۳	۰,۰۸	۰,۰۷	۰,۰۱	۰,۷۷	۰,۴۲	۰,۰۲
Al <sub>2</sub> O <sub>3</sub>	۶,۶۴	۵,۹۷	۶,۵۰	۰,۶۶	۰,۰۴	۰,۱۳	۱۵,۶۴	۱۵,۰۹	۱۴,۱۲
Fe <sub>2</sub> O <sub>3</sub>	۰,۵۹	۰,۰	۰,۰	۰,۶۵	۰,۱۷	۰,۱۳	۹,۶۲	۱۰,۳۳	۰,۴۴
FeO	۰,۰	۰,۵۹	۰,۵۰	۰,۰	۰,۰	۰,۰	۰,۰	۰,۰	۰,۰
MnO	۰,۰۸	۰,۰۶	۰,۰۷	۰,۰۴	۰,۰۴	۰,۰۱	۰,۰۷	۰,۱۲	۰,۰۵
MgO	۱۱,۰۳	۱۱,۲۴	۱۱,۰۸	۰,۱	۰,۱۳	۰,۴۹	۰,۴۹	۰,۴۰	۶,۹۷
CaO	۳۹,۷	۳۹,۵۳	۳۹,۲۹	۴۷,۴۴	۴۸,۴۵	۴۷,۶۳	۳۵,۸۰	۳۶,۰۴	۳۷,۲۰
BaO	۰,۰۲	۰,۰۳	۰,۰۵	۰,۰	۰,۰	۰,۰	۰,۰	۰,۰	۰,۰
Na <sub>2</sub> O	۱,۰۴	۱,۰	۱,۰	۰,۰	۰,۰۱	۰,۰۱	۰,۰	۰,۰	۰,۰
K <sub>2</sub> O	۰,۰۲	۰,۰۲	۰,۰۲	۰,۰۱	۰,۰	۰,۰	۰,۰	۰,۰	۰,۰
Total	۱۰۰,۰۲	۱۰۰,۱۲	۹۹,۷۲	۹۹,۴۱	۱۰۰,۷۳	۹۸,۹۴	۱۰۰,۱۹	۱۰۱,۰۱	۹۳,۶۷
عناصر (ppm)	براساس ۷ اکسیرن			براساس ۶ اکسیرن			براساس ۱۲ اکسیرن		
Si	۱,۸۵۵	۱,۸۷۷	۱,۸۷۲	۱,۹۶۶	۱,۹۹۱	۱,۹۷۸	۲,۹۳۸	۲,۹۸۰	۲,۸۷۶
Ti	۰,۰	۰,۰	۰,۰۰۱	۰,۰۰۲	۰,۰۰۲	۰,۰	۰,۰۴۵	۰,۰۲۴	۰,۰۰۱
Al IV	۰,۳۵۰	۰,۳۱۹	۰,۳۴۶	۰,۰۳	۰,۰۴	۰,۰۰۶	۰,۰۶۲	۰,۰۲۰	۰,۰۱۲۴
Al VI	۰,۰	۰,۰	۰,۰	۰,۰	۰,۰	۰,۰	۱,۳۷۰	۱,۳۵۲	۱,۲۴۸
Fe <sup>3+</sup>	۰,۰۲	۰,۰	۰,۰	۰,۰۱۹	۰,۱۷	۰,۰۰۴	۰,۵۶۲	۰,۶۰۰	۰,۰۲۷
Fe <sup>2+</sup>	۰,۰	۰,۰۲۲	۰,۰۱۹	۰,۰	۰,۰	۰,۰	۰,۰	۰,۰	۰,۰
Mn <sup>2+</sup>	۰,۰۰۳	۰,۰۰۲	۰,۰۰۳	۰,۰۰۱	۰,۰۴	۰,۰	۰,۰۰۴	۰,۰۰۸	۰,۰۰۳
Mg	۰,۷۴۶	۰,۷۵۹	۰,۷۴۵	۰,۰۰۶	۰,۰۰۷	۰,۰۲۹	۰,۰۵۷	۰,۰۴۶	۰,۸۵۷
Ca	۰,۹۳۰	۰,۹۱۸	۱,۹۲۴	۱,۹۸۲	۱,۹۹۵	۱,۹۹۸	۲,۹۸۱	۲,۹۷۹	۳,۲۸۷
Total	۵,۰۰۳	۴,۹۹۸	۴,۹۹۹	۴,۰۰۷	۴,۰۰۴	۴,۰۱۷	۸,۰۲	۸,۰۱	۸,۴۲۳
Aker.	۷۵,۸۹	۷۶,۸۶	۷۵,۷۳۶	-	-	-	-	-	-
Fe-aker	۰,۳۱۲	۲,۲۷۶	۲,۱۹۳	-	-	-	-	-	-
Gehle.	۱۲,۳۶۵	۱۱,۶۰۱	۱۲,۰۳۸	-	-	-	-	-	-
Na-Mel.	۹,۴۰۷	۹,۰۶۱	۹,۰۳۴	-	-	-	-	-	-
Pyr.	-	-	-	-	-	-	۱,۸۸۱	۱,۵۳۱	۲۰,۶۶۷
Spe.	-	-	-	-	-	-	۰,۱۴۳	۰,۲۴۸	۰,۰۸۲
And.	-	-	-	-	-	-	۲۸,۴۳۲	۳۰,۳۵۴	۲,۱۴۵
Gro.	-	-	-	-	-	-	۹,۵۴۴	۶۷,۸۶۷	۷۷,۱۰۷
Wol (ca)	-	-	-	۹۹,۷۰۳	۹۹,۶۳۱	۹۸,۵۷	-	-	-
Ens (Mg)	-	-	-	۰,۲۹۷	۰,۳۶۹	۱,۴۲۱	-	-	-

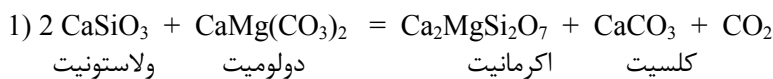
جدول ۲ روابط پاراژنتیکی کانی‌ها در زینولیت‌های کالک-سیلیکاته منطقه مورد مطالعه.

کانیها	مراحل			دگرگونی پیشرونده	دگرگونی قهقهایی
	I	II	III		
ملی‌لیت	—	—	—	—	—
گروسوکار	—	—	—	—	—
ولادتونیت	—	—	—	—	—
وزوویانیت	—	—	—	—	—
هیدروگروسوکار	—	—	—	—	—
سیولیت	—	—	—	—	—

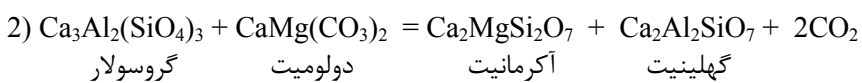
بحث و برداشت

بوون<sup>۵</sup>] نشان داد که دگرگونی آهکها و دولومیت‌های سیلیسی با افزایش دما سکانس کانی‌های تالک، ترمولیت، دیوپسید، فورستریت، ولاستونیت، پریکلاز، موتی سیلیت، اکرمانیت، تیلی‌ایت، اسپاریت، رنکینیت، مرونیت و لارنیت را به وجود می‌آورد. اکرمانیت محصول دگرگونی هم‌جواری گرمایی بالا و فشار پائین است که معمولاً با گهله‌نیت به صورت بلورهای هم رشدی ریزدانه دیده می‌شوند [۱۱]. گهله‌نیت به صورت محلول جامد کامل با اکرمانیت و ناقص با سودا- ملی‌لیت یافت می‌شود.

بررسی سنجشناسی زینولیت‌های کالک- سیلیکات‌های منطقه شیرکوه نشان می‌دهد که ملی‌لیت‌ها احتمالاً به خروج ولاستونیت و گارنت و ضمن واکنش‌های زیر شکل گرفته‌اند:

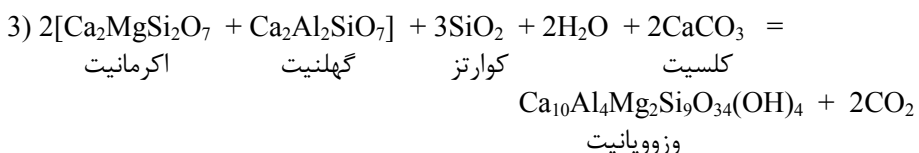


وجود مقادیر ناچیز کلسیت به صورت آزاد تأییدی بر وقوع واکنش فوق است.



چنانکه گفته شد، گردشگی گارنت بهوسیله ملی لیت نیز بیانگر وقوع واکنش ۲ است. لذا هر دو واکنش ۱ و ۲ به احتمال بسیار زیاد در تشکیل ملی لیت نقش داشته‌اند.

ذکر این نکته ضروری است که بازمانده‌های تحلیل نرفته گارنت داخل ملی‌لیت خیلی فراوان‌تر از بازمانده‌های ولاستونیت است (شکل ۷). بهنظر می‌رسد که برای تشکیل ملی‌لیت ساختار رشتمای ولاستونیت جهت نفوذ شاره‌های گرمایی مناسب‌تر از ساختار همسانگرد گارنت باشد. علاوه بر آن ملی‌لیتها کاملاً از شکل و بافت ولاستونیت‌ها (پزدومورف ولاستونیت) پیروی می‌کنند (شکل‌های ۶ و ۷) و با توجه به ترکیب ملی‌لیت<sup>۳</sup> احتمال وقوع واکنش ۱ بیشتر است. شکل‌گیری وزوویانیت به خرج ملی‌لیت را می‌توان با واکنش زیر توجیه کرد:

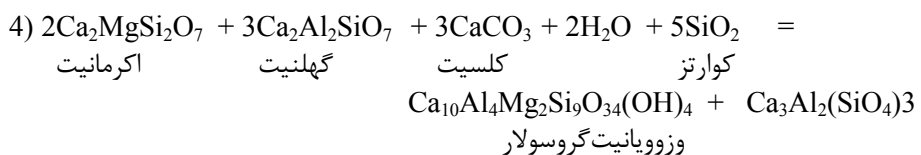


هجمون شاره‌های حاوی سیلیس و آب تنها از طریق توده گرانیتی تأخیری امکان پذیرفته است. کلسیت نیز در محیط دگرگونی همچواری و پر اثر وقوع واکنش ۱ در دسترس است.

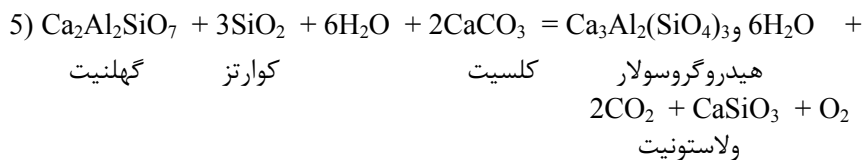
2- Bowen

3- Ak76.162Fe-ak1.6Ge12.683 Na-me9.16

واکنش زیر همیافتی گارنت- وزوویانیت به جای ملی‌لیت را توجیه می‌کند:



مجموعه سیمپلکتیت گارنت- ولستونیت (شکل ۵) به جای ملی‌لیت را می‌توان توسط واکنش زیربخوبی توجیه نمود (در اینجا تنها سازه گهلهنیت وارد واکنش می‌شود):

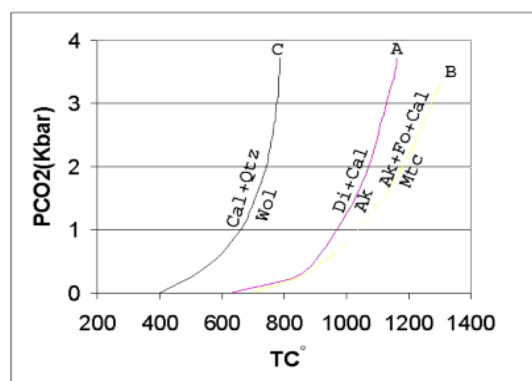


وجود مجموعه مینرالی زینولیت‌های کالک - سیلیکاته در منطقه مورد مطالعه حاکی از دو پاراژنر متفاوت است. پاراژنر مربوط به سری دگرگونی پیشرونده و پاراژنر سری دگرگونی پسرونده. در سری پیشرونده، پاراژنر خشک و حرارت بالا (رخساره پیروکسن - هورنفلس) و در سری پسرونده پاراژنر آبدار (رخساره هورنبلند- هورنفلس) شکل گرفته است.

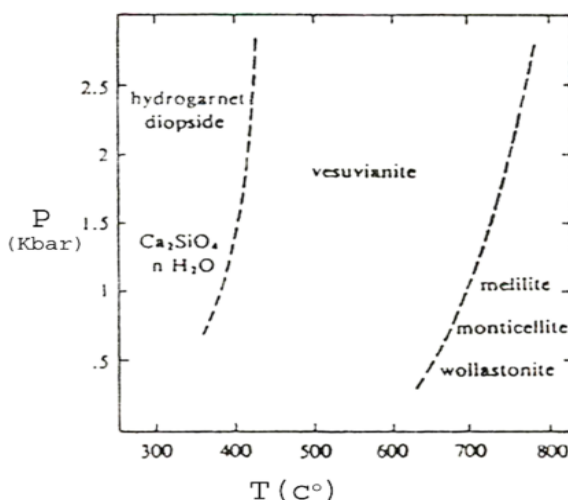
سری پیشرونده در شرایط اوج دگرگونی حرارتی حاصل از جایگیری با تولیت گرانودیوریتی  $\text{CO}_2/\text{H}_2\text{O}$  شیرکوه صورت گرفته است. در این مرحله نسبت  $\text{CO}_2/\text{H}_2\text{O}$  در سیال بالا بوده است.  $\text{CO}_2$  مورد نیاز دگرگونی پیشرونده بطور یقین از بخش‌های آهکی سازند نایبند- شمشک تأمین شده است. حین این فرایند، واکنش‌های کربن زدایی (واکنش‌های ۱ و ۲) صورت گرفته است. در فرایندهای دگرگونی پسرونده نسبت  $\text{H}_2\text{O}/\text{CO}_2$  پس از تبلور توده آذرین شیرکوه رو به افزایش گذاشته است و باعث وقوع واکنش‌های آبگیری (واکنش‌های ۳، ۴ و ۵) شده است. در واقع در فرایندهای دگرگونی پیشرونده، نقش  $\text{CO}_2$  بر نقش  $\text{H}_2\text{O}$  فزونی داشته است. تشکیل کانی‌های وزوویانیت و هیدرو گروسو لار حکایت از نفش فعال آب در فرایندهای دگرگونی پسرونده دارد. با بررسی واکنش‌های دگرگونی انجام یافته در شکل گیری پاراژنرهای زینولیت‌ها، می‌توان نتیجه گرفت که مرحله اول دگرگونی پیشرونده با خروج  $\text{CO}_2$  همراه بوده است. آکمانیت و کلسیت بخرج دولومیت و ولستونیت پدید آمده‌اند، که این واکنش در حرارت بیش از ۶۰۰ درجه سانتیگراد و فشار  $\text{CO}_2$  در بازه ۱ تا ۴ کیلوبار به وقوع پیوسته است (نمودار ۱) [۱۳]. عدم بافت مونتی‌سیلیت در این پاراژنر نشان از سه احتمال زیر دارد:

- ۱- حرارت برای پدیدآمدن مونتی سیلیت احتمالاً کافی نبوده است.
- ۲- منیزیم موردنیاز برای تشکیل مونتی سیلیت (مطابق واکنش ۱) در دسترس نبوده و تمام منیزیم موجود صرف تشکیل آکرمانیت شده است.
- ۳- فقدان نمونه‌های کافی در مشاهدات صحرائی جهت مطالعات پتروگرافی و شناسائی کامل پارازنژها.

در مرحله دگرگونی پسروندی در اثر تبلور با تولیت و خروج  $\text{CO}_2$  از طریق درزهای و شکافهای سنگ میزبان، غلظت  $\text{CO}_2$  رو به کاهش گذاشته است، و در ضمن هجوم آب از بخش‌های داخلی با تولیت نیز باعث رقیق شدن  $\text{CO}_2$  شده است. در این میان، واکنش‌های پسروندی موجب تشکیل کانی‌های وزوویانیت و هیدروگروسولار شده است (نمودار ۲). در این شرایط، کانی شاخص حرارت بالا (ملی لیت) در دماهای حدود ۵۰۰ تا ۶۰۰ درجه سانتیگراد و فشار بخار آب ۴/۸ تا ۶ کیلوبار ناپایدار شده و فرآورده‌های دگرسان شده را فراهم نموده است.



نمودار ۱ منحنی P-T تشکیل ولاستونیت، آکرمانیت و مونتی سیلیت در سیستم CMS( $\text{CO}_2$ ) (اقتباس از [۱۳]).



نمودار ۲ منحنی P-T تشکیل وزوویانیت در محیطی با آب خالص و عاری از آلکالی برای ترکیب ژل  $\text{Ca}_{20}\text{Al}_8\text{Mg}_4\text{Si}_8(\text{OH})_{6-n}\text{H}_2\text{O}$  (اقتباس از [۱۴]).

### قدردانی

آنالیز میکروپروب کانی‌های زینولیت‌ها در بخش زمین شناسی دانشگاه اکلاهماستی آمریکا انجام گرفته است که بدین وسیله از آقای دکتر جورج مورگان (G. Morgan) برای انجام آنالیزها، و از پروفسور چارلز گیلبرت (C. Gilbert) که هزینه آنها را تأمین کرده‌اند قدردانی می‌شود. از داوران محترم مجله که جهت اصلاح این مقاله نکات علمی چندی را تذکر دادند نیز سپاسگزاری می‌شود.

### مراجع

- [1] Greenwood R., “*Wollastonite: Stability in  $H_2O - CO_2$  mixtures and occurrence in a contact metamorphic aureole near Salmo, British Columbia, Canada*”, American Mineralogists **52** (1967) pp. 1669-1689 .
- [2] Spear F.S., “*Metamorphic phase equilibria and pressure-temperature-time path*”, Mineralogical Society of America **32** (1995) pp. 447-467.
- [3] Ferry J.M., “*Dehydration and decarbonation reactions as a record of fluid infiltration*”, Mineralogical Society of America **26** (1991) pp. 352-393.
- [4] Wallmach T., Hatton C.J., Dewall S.A., Gibson R.L., “*Retrogressive hydration of calc-silicate xenoliths in the eastern Bushveld Complex: evidence for late agmatic fluid movement*”, Journal of African Earth Science **21(4)** (1995) pp. 633-646.
- [5] Bowen N.L., “*Progressive metamorphism of siliceous limestone and dolomite*”, Journal of Geology **48** (1948) pp. 225-274.
- [6] Stocklin J., “*Structural history and tectonic of Iran, A review*”, American Association of Petroleum Geologists Bulletin **52(7)** (1968) pp. 1129-1258.
- [7] Assereto R., “*The Jurassic Shemshak Formation in Central Iran*”, Review Italia Paleontological Stratigraphy **72(4)** (1966) pp. 1133-1182.

- [۸] نبوی م.ح، دیباچه‌ای بر زمین‌شناسی ایران، سازمان زمین‌شناسی ایران (۱۳۵۵) ص ۱۱۰.
- [۹] سبزه‌ای م، روش روان‌ج، ناظم‌زاده ش.م، علایی م.س، "اکتشاف فلدسپات و کائولن در منطقه یزد"، سازمان زمین‌شناسی ایران (مرکز کرمان)، گزارش داخلی (۱۳۶۵) ص ۶۱.
- [10] Khalili M., "Petrography, mineral-chemistry and geochemistry of Shir-Kuh granite SW of Yazd, Central Iran", Ph.D dissertation, University of Hamburg (1997) p. 148.
- [11] Deer W.A., Howie R.A., Zussman J., "Rock Forming Minerals", Longman (1986) p. 629.
- [12] Ferry J.M., Burt G., "Characterization of metamorphic fluid composition through mineral equilibria", Mineralogical Society of America **10** (1982) pp. 207-262.
- [13] Tracy R., Frost B.R., "Phase equilibria and thermobarometry of calcareous ultramafic and mafic rocks and iron formation: In contact metamorphism", ed. by Kerrick D.M., Mineralogical Society of America Review in Mineralogy **26** (1991) pp. 207-289.
- [14] Ito J., Arem J.E., "Idiocrase: Synthesis, phase relation and crystal chemistry", American Mineralogists **55** (1970) pp. 880-912.